

УДК 621.362

©1993

## МЕЖДОЛИННОЕ РАССЕЯНИЕ В ПОЛУПРОВОДНИКОВЫХ СПЛАВАХ BiSb

В.А.Козлов, С.Е.Турецкий

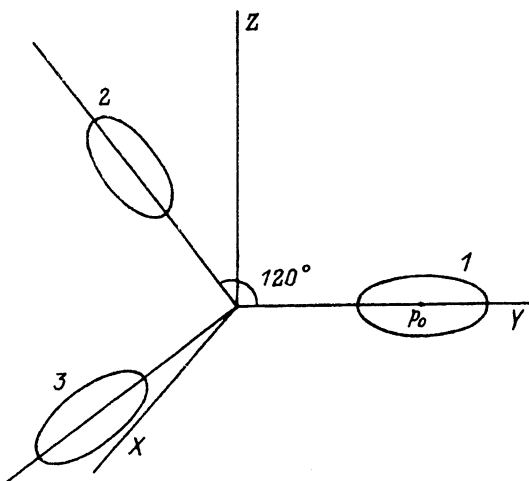
Теоретически исследуется междолинное рассеяние в материалах типа BiSb как на заряженных, так и на нейтральных примесях. Анализируется относительный вклад междолинного рассеяния в величину времени релаксации в зависимости от величины параметра  $a$ , имеющего смысл радиуса нейтрального атома. Показано, что согласие с экспериментом достигается при  $a$ , лежащем в пределах от 1 до 2.5 Å.

Междолинные процессы рассеяния носителей тока в многодолинных полупроводниках и полуметаллах играют весьма существенную роль в явлениях переноса [1-4]. Помимо того, как было показано в работе [5], наличие междолинного рассеяния в полупроводниковом сплаве BiSb также сказывается на осцилляционных эффектах в магнитном поле. В то же время вопрос о величине и температурной зависимости соответствующей длины пробега  $l_m$  по существу остается открытым.

С экспериментальной точки зрения оценка величины  $l_m$  оказалась возможной в чистых массивных монокристаллах висмута [2,6]. Однако, как показывает анализ, здесь фактически удастся оценить лишь длину рекомбинации. Последнее обстоятельство относится как к акустомагнитным измерениям [6], так и к измерениям поперечного электрического поля в условиях диффузионно-размерного эффекта, осуществленных в работе [2]. Что же касается переходов между эквивалентными долинами, особенно в условиях, когда отсутствует дырочный экстремум, а длины пробегов относительно междолинных переходов сравнимы по порядку величины с внутриволинными, то здесь по существу не удастся сколь-нибудь надежно оценить величину  $l_m$ .

Указанная картина имеет место в полупроводниковых сплавах BiSb, где, согласно экспериментальным оценкам работы [5], отношение междолинного времени релаксации  $\tau_m$  к внутриволинному  $\tau_v$  находится в интервале  $0.8 < \tau_m/\tau_v < 3.3$ .

Вообще говоря, вопрос о механизме междолинного рассеяния в отличие от особо чистых монокристаллов Bi, где оно осуществляется в основном на фонах [6], в соединениях BiSb до сих пор не решен. Столь малые длины пробега относительно междолинного рассеяния, следующие из экспериментальных оценок работы [5], скорее свидетельствуют в пользу примесного механизма междолинного рассеяния. На принципиальную возможность такого рассеяния было указано в работе [7], где рассеяние на нейтральной примеси трактовалось как рассеяние на потенциале типа твердой сердцевины, поскольку его Фурье-образ содержит компоненты с



Расположение электронных долин в сплаве BiSb.

волновыми векторами порядка размера зоны Бриллюэна. Однако количественные оценки применительно к реальным материалам в настоящее время фактически отсутствуют.

## 1. Основные соотношения

Рассматривается легированный полупроводниковый сплав BiSb, зона Бриллюэна которого содержит три эквивалентных эллипсоида 1-3 (см. рисунок). В области гелиевых температур электронный газ можно считать полностью вырожденным, поскольку при концентрациях легирующей примеси  $\approx 10^{16} \text{ см}^{-3}$  соответствующая энергия Ферми составляет 8.4 мэВ. При этом фермиевский импульс имеет порядок  $10^6 \text{ см}^{-1}$ , так что соответствующие долины являются хорошо определенными и не перекрывающимися друг с другом.

Для исследования сформулированной задачи удобно записать все уравнения не для каждого минимума энергетического спектра в отдельности, а для всей зоны Бриллюэна сразу. Для этого надо воспользоваться кинетическим уравнением, полученным в [8] для произвольного закона дисперсии электронов проводимости.

Однако для конкретных расчетов воспользоваться уравнением, полученным в [8], невозможно, поскольку не известны ни закон дисперсии электронов  $\epsilon(\mathbf{k})$  во всей зоне, ни точные волновые функции электронов в кристалле  $\psi_{\mathbf{k}}(\mathbf{r})$ . Для дальнейшего необходимо учесть, что неравновесная добавка к функции распределения содержит в качестве множителя производную от фермиевской функции, которая отлична от нуля только в слое толщиной  $kT$  вблизи поверхности Ферми. Как будет показано ниже, данное обстоятельство позволяет записать обычное кинетическое уравнение с интегралом столкновений, правильно описывающим переходы только с участием этой группы электронов.

Для рассмотрения указанных электронов можно воспользоваться методом эффективной массы и считать, что волновая функция электрона

вблизи минимума с центром в точке  $\mathbf{k}_0$  имеет вид

$$\psi_{\nu\mathbf{k}}(\mathbf{r}) = \exp(ikr)\omega_{\nu\mathbf{k}_0}(\mathbf{r}).$$

Таким образом, в нашем подходе не делается различия между внутримолекулярным и междолинным рассеянием, которое описывается одним и тем же интегралом столкновений с областью интегрирования, формально распространяющейся на всю зону Бриллюэна.

В соответствии со сказанным запишем кинетическое уравнение Больцмана

$$\epsilon E \frac{\partial f^0}{\partial \mathbf{p}} = \int W(\mathbf{k} - \mathbf{k}') (g_{\mathbf{k}'} - g_{\mathbf{k}}) \delta(\epsilon - \epsilon') d^3 k'. \quad (1)$$

Здесь  $f^0(\epsilon)$  — равновесная функция распределения Ферми-Дирака;  $g_{\mathbf{k}}$  — неравновесная добавка к ней;  $\epsilon(\mathbf{k})$  — закон дисперсии электронов с тремя эквивалентными минимумами, повернутыми на  $120^\circ$  относительно друг друга (см. рисунок). Будем считать, что оси эллипсоидов находятся в плоскости, перпендикулярной оси симметрии  $C_3$ .

Для дальнейших расчетов центральным вопросом является выбор потенциала рассеяния на нейтральной примеси. Вполне естественно считать, что роль таких рассеивателей в соединениях BiSb играют атомы сурьмы, являющиеся примесью замещения. Поскольку характерный импульс передачи при междолинном рассеянии в указанных соединениях порядка  $10^7 \text{ см}^{-1}$ , то детали потенциала, имеющие значения на расстояниях порядка постоянной решетки, в данном случае не играют существенной роли. Поэтому для вычисления рассеяния на нейтральной примеси соответствующий потенциал  $W(\mathbf{k})$  вполне разумно считать изотропным и отвечающим рассеянию на водородоподобном атоме

$$W(\mathbf{k}) = \frac{4Z^2 e^4 a^4}{\hbar^4} N_0 \frac{(8 + (ak)^2)^2}{(4 + (ak)^2)^4}. \quad (2)$$

В этой формуле  $Ze$  — эффективный заряд,  $a$  — радиус потенциала,  $N_0$  — концентрация нейтральных примесей.

В случае рассеяния на заряженных примесях  $W(\mathbf{k})$  имеет вид

$$W(\mathbf{k}) = \frac{4e^4 N_i}{\kappa_0^2 \hbar^4} \frac{1}{(k^2 + \rho_D^{-2})^2}, \quad (3)$$

где  $\rho_D$  — дебаевский радиус,  $\kappa_0$  — диэлектрическая проницаемость,  $N_i$  — концентрация заряженных примесных центров.

Из (2) следует, что при значении  $a$ , стремящемся к нулю, вероятность рассеяния  $W(k)$  стремится к величине  $W_0$ , не зависящей от волнового вектора  $\mathbf{k}$ . В этом пределе кинетическое уравнение (1) можно решить аналитически. Тогда выражение для  $g_{\mathbf{k}}$  имеет вид

$$g_{\mathbf{p}} = \epsilon \tau(\epsilon) E \left( -\frac{\partial f^0}{\partial \mathbf{p}} \right), \quad (4)$$

где

$$\tau(\epsilon) = \frac{1}{W_0 \int \delta(\epsilon - \epsilon') d^3 p'}. \quad (5)$$

Из (5) следует, что в рассматриваемом предельном случае

$$\frac{\tau_M}{\tau_B} = 0.5.$$

Отметим, что данное значение не попадает в интервал значений  $\tau_M/\tau_B$ , указанный в работе [5].

В случае же произвольного радиуса  $a$  или при рассеянии на ионизированных примесях количественный анализ задачи до сих пор не сделан, что связано с невозможностью аналитического решения уравнения Больцмана. Соответствующее решение задачи может быть найдено с помощью вариационного метода.

В соответствии с вариационным принципом решение  $g(\mathbf{p})$  кинетического уравнения (1) минимизирует функционал

$$J[\varphi] = (\varphi, \hat{L}\varphi) - 2eE \left( \varphi, \frac{\partial f^0}{\partial \mathbf{p}} \right). \quad (6)$$

Круглые скобки означают интегрирование по всей зоне Бриллюэна

$$(\varphi, \psi) = \int \varphi(\mathbf{p})\psi(\mathbf{p})d^3p.$$

Функцию  $\varphi(\mathbf{p})$  будем искать в следующем виде:

$$\varphi(\mathbf{p}) = \sum_{j=1}^3 c_j v_j \left( -\frac{\partial f^0}{\partial \varepsilon} \right). \quad (7)$$

Здесь  $c_j$  — варьируемые коэффициенты,  $v_j = \partial \varepsilon / \partial p_j$  — скорость электрона.

Подобный подход к исследованию процессов рассеяния в сильно анизотропных материалах применительно к внутривалинному рассеянию был использован в работе [9]. Что же касается междолинного рассеяния, то развитая ниже методика позволяет в рамках единого вариационного принципа получить выражение для эффективного времени релаксации, одновременно учитывающее как внутривалинные, так и междолинные переходы.

В соответствии с вышесказанным в таком виде ищется неравновесная добавка во всей зоне Бриллюэна. Отметим, что в нашем подходе отсутствует индекс долины  $\alpha$ , который часто приписывается физическим величинам, относящимся к долине с номером  $\alpha$ . Связь между двумя подходами простая. Если  $\mathbf{p}$  лежит вблизи минимума с номером  $\alpha$ , то можно записать

$$\varphi^{(\alpha)}(p) = \sum_{j=1}^3 c_j v_j^{(\alpha)} \left( -\frac{\partial f^0(\alpha)}{\partial \varepsilon(\alpha)} \right), \quad (8)$$

где

$$v_j^{(\alpha)} = \frac{\partial \varepsilon(\alpha)}{\partial p_j}.$$

Коэффициент  $c_j$  связан с тензором времени релаксации  $\tau_{ij}$  следующим образом:

$$c_j = \epsilon \tau_{ij} E_i. \quad (9)$$

С помощью (8), (9) можно найти тензор проводимости

$$\sigma_{ik} = \frac{e^2 V}{(2\pi)^3} \sum_{j=1}^3 \tau_{ij} \int v_k v_j \left( -\frac{\partial f^0}{\partial \epsilon} \right) d^3 k. \quad (10)$$

Заметим, что в рассматриваемой модели тензор  $\sigma_{ik}$  инвариантен по отношению к поворотам на  $120^\circ$ . Из (10) следует, что матрица  $\tau_{ij}$  времени релаксации коммутирует с матрицей  $M$  поворота на  $120^\circ$

$$M\tau = \tau M. \quad (11)$$

Так как производная  $(-\partial f^0/\partial \epsilon)$  имеет в случае полного вырождения резкий максимум вблизи поверхности Ферми, то основной вклад в интеграл (10) вносят области интегрирования вблизи поверхностей Ферми эллипсоидов. Это дает возможность записать

$$\sigma_{ik} = \sum_{\alpha} \sigma_{ik}^{(\alpha)}, \quad (12)$$

$$\sigma_{ik}^{(\alpha)} = \frac{e^2 V}{(2\pi)^3} \tau_{ij} \int_{(\alpha)} v_j v_k \left( -\frac{\partial f^0}{\partial \epsilon} \right) d^3 k, \quad (13)$$

где интегрирование проводится по эллипсоиду с номером  $\alpha$ .

С помощью (11) легко получить обычный результат

$$\sigma = \sigma^{(1)} + M\sigma^{(1)}M^T + M^T\sigma^{(1)}M. \quad (14)$$

Из вариационного метода следует система уравнений на неизвестные коэффициенты  $c_j$

$$\sum_{j'=1}^3 L_{jj'} c_{j'} = b_j, \quad (15)$$

$$L_{jj'} = \left( v_j \frac{\partial f^0}{\partial \epsilon}, \hat{L} v_{j'} \frac{\partial f^0}{\partial \epsilon} \right), \quad (16)$$

$$b_j = \left( v_j \frac{\partial f^0}{\partial \epsilon}, \frac{\partial f^0}{\partial \mathbf{p}} \right) e\mathbf{E}. \quad (17)$$

Таким образом, задача сводится к нахождению коэффициентов  $L_{jj'}$ ,  $b_j$  и решению системы (15). Используя самосопряженность оператора столкновений  $L$  на примесях [10], коэффициенты  $L_{jj'}$  можно записать в симметричном виде

$$L_{jj'} = -\frac{1}{2} \int d^3 p d^3 p' W(\mathbf{p} - \mathbf{p}') \left( \frac{\partial f^0}{\partial \epsilon} \right)^2 (v'_j - v_j) (v'_{j'} - v_{j'}) \delta(\epsilon - \epsilon'). \quad (18)$$

Анализируя интеграл (18) аналогично интегралу (10), придем к результату

$$L_{jj'} = \sum_{\alpha, \beta=1}^3 L_{jj'}^{(\alpha, \beta)}. \quad (19)$$

В этих обозначениях  $L_{jj'}^{(\alpha, \beta)}$  есть интеграл (18), в котором областью интегрирования по  $\mathbf{p}$  является эллипсоид с номером  $\alpha$ , а по  $\mathbf{p}'$  — эллипсоид с номером  $\beta$ .

Учитывая симметрию рассматриваемой системы, несложно показать, что для вычисления  $L_{jj'}$  достаточно знать  $L_{xx}^{(1,1)}$ ,  $L_{xx}^{(1,2)}$ ,  $L_{yy}^{(1,1)}$ ,  $L_{yy}^{(1,2)}$  и  $L_{zz}^{(1,2)}$

$$L_{xx} = 3L_{xx}^{(1,1)} + 6L_{xx}^{(1,2)}, \quad (20)$$

$$L_{yy} = L_{zz} = \frac{3}{2} \left( L_{xx}^{(1,1)} + L_{yy}^{(1,1)} \right) + 3 \left( L_{yy}^{(1,2)} + L_{zz}^{(1,2)} \right). \quad (21)$$

Выведем теперь выражения, необходимые для вычисления величин  $L_{jj'}^{(1,1)}$  и  $L_{jj'}^{(1,2)}$ . Согласно (18), коэффициенты  $L_{jj'}$  определяются выражением

$$L_{jj'}^{(1,1)} = -\frac{1}{2} \int d^3 p d^3 p' W(p' - p) \left( \frac{\partial f^0}{\partial \varepsilon} \right)^2 (v'_j - v_j) (v'_j - v_j) \delta(\varepsilon - \varepsilon'), \quad (22)$$

в котором областью интегрирования является первая долина с законом дисперсии

$$\varepsilon(\mathbf{p}) = \frac{p_x^2}{2m_1} + \frac{(p_y - p_0)^2}{2m_2} + \frac{p_z^2}{2m_1}. \quad (23)$$

С помощью несложных преобразований интеграл (22) приводится к виду

$$L_{jj'}^{(1,1)} = -\frac{1}{2} \frac{m_2}{m_1} \frac{\pi}{3T} I_{jj'}, \quad (24)$$

где

$$I_{jj'} = \int d^3 q \frac{\Theta(2p_F - q)}{q} c_j c_{j'} W(R), \quad (25)$$

$$R = q_x^2 + \frac{m_2}{m_1} q_y^2 + q_z^2, \quad c_x = q_x, \quad c_y = q_y \sqrt{\frac{m_2}{m_1}}, \quad c_z = q_z,$$

$\Theta$  — функция Хевисайда.

При получении формул (24), (25) было учтено наличие резкого максимума у производной  $(\partial f^0 / \partial \varepsilon)^2$ , что дало возможность в оставшейся части подынтегрального выражения заменить  $p$  на  $p_F$ .

Переходя в (25) к сферической системе координат, для  $I_{jj'}$  получим

$$I_x = I_z = \pi A \int_0^1 dx (1 - x^2) \frac{\alpha^2(x)}{b^4} J(\alpha(x)), \quad (26)$$

$$I_y = 2\pi \frac{m_1}{m_2} A \int_0^1 dx x^2 \frac{\alpha^2(x)}{b^4} J(\alpha(x)). \quad (27)$$

Здесь

$$A = 4Z^2 \epsilon^4 a^4 N_0, \quad b^2 = 4/a^2,$$

$$\alpha(x) = \frac{b^2}{1 + (m_2 / m_1 - 1)x^2}, \quad p_F = \sqrt{2m_1 E_F},$$

$$J(\alpha(x)) = \ln \left( 1 + \frac{4p_F^2}{\alpha(x)} \right) + \frac{4p_F^2}{\alpha(x) + 4p_F^2} + \frac{1}{2} \frac{\alpha^2(x) - (\alpha(x) + 4p_F^2)^2}{(\alpha(x) + 4p_F^2)^2} + \\ + \frac{1}{3} \frac{\alpha^3(x) - (\alpha(x) + 4p_F^2)^3}{(\alpha(x) + 4p_F^2)^3}.$$

Интегралы в (26), (27) не выражаются через элементарные функции. Дальнейшее интегрирование приводит к громоздкому выражению, которое мы опустим.

В случае рассеяния на ионизированных примесях результат будет иметь вид

$$J_x = J_z = \pi A \int_0^1 dx (1 - x^2) \alpha^2(x) J(\alpha(x)), \quad (28)$$

$$J_y = 2\pi \frac{m_1}{m_2} A \int_0^1 dx x^2 \alpha^2(x) J(\alpha(x)), \quad (29)$$

$$J(\alpha) = \ln \left( 1 + \frac{4p_F^2}{\alpha(x)} \right) + \frac{\alpha(x)}{4p_F^2 + \alpha(x)} - 1,$$

$$\alpha(x) = \frac{\hbar^2}{\rho_D^2} \frac{1}{1 + \left( \frac{m_2}{m_1} - 1 \right) x^2}, \quad A = \frac{4e^4 N_i}{\kappa_0^2} \left( \frac{\rho_D}{\hbar} \right)^4.$$

В свою очередь, согласно (18), элемент  $L_{jj'}^{(1,2)}$  дается выражением

$$L_{jj'}^{(1,2)} = -\frac{1}{2} \int d^3 p \int d^3 p' W(\mathbf{p} - \mathbf{p}') (v'_j - v_j) (v'_{j'} - v_{j'}) \left( \frac{\partial f^0}{\partial \epsilon} \right)^2 \delta(\epsilon - \epsilon'). \quad (30)$$

Окончательный результат получается из (30) после громоздких, но простых вычислений

$$L_{jj}^{(1,2)} = \frac{m_2}{3Tm_1} \int d\vartheta d\vartheta' d\varphi d\varphi' W(R) \varphi_j^2 \cos \vartheta \sin \vartheta \sin \vartheta', \quad (31)$$

где

$$R = q_x^2 + \left( \frac{3}{2} \sqrt{\frac{m_2}{m_1}} p_y + \sqrt{\frac{m_2}{m_1}} q_y + \frac{\sqrt{3}}{2} p_z + \frac{3}{2} p_0 \right)^2 +$$

$$+ \left( \frac{3}{2} p_x + q_x - \frac{\sqrt{3}}{2} \sqrt{\frac{m_2}{m_1}} p_y - \frac{\sqrt{3}}{2} p_0 \right)^2, \quad (32)$$

$$\varphi_x = q_x,$$

$$\varphi_y = \frac{3}{2} \sqrt{\frac{m_1}{m_2}} p_y + \frac{\sqrt{3}}{2} p_x + \sqrt{\frac{m_1}{m_2}} q_y,$$

$$\varphi_z = \frac{3}{2} p_z - \frac{\sqrt{3}}{2} \sqrt{\frac{m_1}{m_2}} p_y + q_z. \quad (33)$$

Входящие в результаты (32) и (33) переменные  $\mathbf{p}$  и  $\mathbf{q}$  связаны с переменными интегрирования  $\vartheta$ ,  $\vartheta'$ ,  $\varphi$  и  $\varphi'$  следующими соотношениями:

$$q_x = \sin \vartheta' \cos \varphi',$$

$$q_y = \sin \vartheta' \sin \varphi',$$

$$q_z = \cos \vartheta',$$

$$p_x = \sin \vartheta \cos \varphi \sin \varphi' + \sin \vartheta \sin \varphi \cos \vartheta' \cos \varphi' + \cos \vartheta \sin \vartheta' \cos \varphi',$$

$$p_y = -\sin \vartheta \cos \varphi \cos \varphi' + \sin \vartheta \sin \varphi \cos \vartheta' \sin \varphi' + \cos \vartheta \sin \vartheta' \sin \varphi',$$

$$p_z = -\sin \vartheta \sin \varphi \sin \vartheta' + \cos \vartheta \cos \vartheta'. \quad (34)$$

Поскольку дальнейшее изучение выражения (31) аналитически невозможно, его вычисление проводилось численными методами.

Что же касается коэффициентов  $b_j$ , то элементарные расчеты приводят к результату

$$b_x = \frac{2\pi}{3} \frac{eE_x}{m_1 T} \sqrt{\frac{m_2}{m_1}} p_F^3,$$

$$b_y = b_z = \frac{\pi}{3} \frac{eE_{y,z}}{m_1 T} \sqrt{\frac{m_2}{m_1}} p_F^3 \left( 1 + \frac{m_2}{m_1} \right). \quad (35)$$

Как было показано выше, матрица  $L_{jj'}$  имеет диагональный вид, поэтому система уравнений (15) распадается на три независимых уравнения. Отличные от нуля компоненты тензора времени релаксации  $\tau_{ij}$ , определяемого формулой (9), даются следующими выражениями:

$$\tau_x = \frac{2\pi}{3} \frac{p_F^3}{m_1 T} \sqrt{\frac{m_2}{m_1}} / L_{xx}, \quad (36)$$

$$\tau_y = \tau_z = \frac{\pi}{3} \frac{p_F^3}{m_1 T} \sqrt{\frac{m_2}{m_1}} \left( 1 + \sqrt{\frac{m_1}{m_2}} \right) / L_{yy,zz}. \quad (37)$$

Пользуясь (20), (21), (36) и (37), можно выделить относительный вклад междолинного рассеяния в тензор  $\tau_{ij}$

$$\left( \frac{1}{\tau_x} \right)_M / \left( \frac{1}{\tau_x} \right)_B = 2 \frac{L_{xx}^{(1,2)}}{L_{xx}^{(1,1)}}, \quad (38)$$



$$\left(\frac{1}{\tau_y}\right)_M / \left(\frac{1}{\tau_y}\right)_B = 2 \frac{L_{yy}^{(1,2)} + L_{zz}^{(1,2)}}{\left(1 + d \frac{m_1}{m_2}\right) L_{xx}^{(1,1)}}, \quad (39)$$

$$\left(\frac{1}{\tau_z}\right)_M / \left(\frac{1}{\tau_z}\right)_B = 2 \frac{L_{yy}^{(1,2)} + L_{zz}^{(1,2)}}{\left(1 + d \frac{m_1}{m_2}\right) L_{xx}^{(1,1)}}. \quad (40)$$

Как показал дальнейший анализ, проведенный численными методами применительно к сплаву  $\text{Bi}_{0.9}\text{Sb}_{0.1}(\text{Te})$ , добиться согласия с экспериментальными результатами [5] возможно только в случае рассеяния на нейтральной примеси, причем при изменении параметра  $a$ , имеющего смысл размера примеси, от 1 до 2.5 Å отношение  $\tau_M/\tau_B$  лежит в пределах от 0.8 до 3.5.

#### Список литературы

- [1] Рашба Э.И. // ЖЭТФ. 1965. Т. 48. С. 1427-1432.
- [2] Межов-Деглин Л.П. // Автореф. докт. дис. Черноголовка, 1981.
- [3] Козлов В.А., Сахаров К.А. // Письма в ЖЭТФ. 1987. Т. 46. № 7. С. 267-270.
- [4] Козлов В.А., Сахаров К.А. // ФТТ. 1989. Т. 31. № 1. С. 235-242.
- [5] Киракозова Л.А., Минина Н.Я., Савин А.М. // Письма в ЖЭТФ. 1990. Т. 52. № 1. С. 693-696.
- [6] Lopez A.A. // Phys. Rev. 1968. V. 175. N 3. P. 823-840.
- [7] Гантмахер Ф.В., Левинсон И.Б. Рассеяние носителей тока в металлах и полупроводниках. М.: Наука, 1984. С. 351.
- [8] Кон В., Люттенгер Дж. // Сб. „Вопросы квантовой теории необратимых процессов“. М.: ИЛ, 1961. С. 365.
- [9] Somailovich A.G., Nitsovich M.U., Nitsovich V.M. // Phys. Stat. Sol. 1966. V. 16. N 2. P. 449-452.
- [10] Дыкман И.М., Томчук П.М. Явления переноса и флуктуации в полупроводниках. Киев: Наукова думка, 1981. С. 320.

Московский  
физико-технический институт

Поступило в Редакцию  
21 мая 1991 г.  
В окончательной редакции  
18 декабря 1992 г.